

本文引用: 龚翠兰, 马强, 杨仁义, 王智槟, 周德生. 基于 JAK2/STAT3 通路探讨活血荣络方对 OGD/R 后 BMEC 的干预作用及机制[J]. 湖南中医药大学学报, 2024, 44(3): 350–356.

基于 JAK2/STAT3 通路探讨活血荣络方对 OGD/R 后 BMEC 的干预作用及机制

龚翠兰¹, 马强², 杨仁义³, 王智槟³, 周德生^{2*}

1.湖南中医药大学附属常德医院,湖南 常德 415000;2.湖南中医药大学第一附属医院,湖南 长沙 410007;

3.湖南省中西医结合医院,湖南 长沙 410006

[摘要] 目的 探讨活血荣络方激活 Janus 酪氨酸激酶 2/信号转导和转录激活剂 3(Janus kinase 2/signal transducer and activator of transcription 3, JAK2/STAT3)通路对氧糖剥夺/复氧(oxygen-glucose deprivation/reperfusion, OGD/R)后脑微血管内皮细胞(brain microvascular endothelial cell, BMEC)的干预作用和机制。方法 培养大鼠 BMEC(bEnd.3 细胞),建立 OGD/R 模型;将细胞随机分为正常组(10%空白血清)、模型组(10%空白血清)、活血荣络方组(10%活血荣络方含药血清)、丁苯酞组(10%丁苯酞含药血清)、Stattic 组(10%空白血清+10 μmol/mL Stattic)、联用组(10%活血荣络方含药血清+10 μmol/mL Stattic),并分别给予相应的药物干预 24 h。采用 CCK-8 法检测活血荣络方对 OGD/R 后 bEnd.3 细胞活性的影响;采用划痕实验和 Transwell 迁移实验分别检测活血荣络方对 OGD/R 后 bEnd.3 细胞划痕愈合和细胞迁移的影响;采用 Western blot 法检测 bEnd.3 细胞中 JAK2、p-JAK2、STAT3、p-STAT3、血管内皮生长因子 A(vascular endothelial growth factor A, VEGFA)蛋白表达水平。结果 与正常组比较,模型组 bEnd.3 细胞存活率、细胞划痕愈合率、细胞迁移数显著降低($P<0.01$),JAK2、p-JAK2、STAT3、p-STAT3、VEGFA 的表达量升高($P<0.05$ 或 $P<0.01$);与模型组比较,活血荣络方组 bEnd.3 细胞的存活率、细胞划痕愈合率、细胞迁移数显著升高($P<0.01$),JAK2、p-JAK2、p-STAT3、STAT3、VEGFA 的表达量升高($P<0.05$ 或 $P<0.01$);与 Stattic 组比较,联用组 bEnd.3 细胞的存活率、细胞划痕愈合率、细胞迁移数显著升高($P<0.05$ 或 $P<0.01$),STAT3、VEGFA 的表达量升高($P<0.05$)。结论 活血荣络方可能激活 JAK2/STAT3 信号通路并诱导内皮细胞的增殖、迁移和存活,激活 VEGFA 表达并减轻脑缺血再灌注损伤,具有神经保护作用。

[关键词] 缺血性脑卒中;活血荣络方;JAK2/STAT3 通路;氧糖剥夺/复氧;脑微血管内皮细胞

[中图分类号]R285.5

[文献标志码]A

[文章编号]doi:10.3969/j.issn.1674-070X.2024.03.002

Intervention and mechanism of Huoxue Rongluo Formula on BMEC after OGD/R based on JAK2/STAT3 pathway

GONG Cuilan¹, MA Qiang², YANG Renyi³, WANG Zhibing³, ZHOU Desheng^{2*}

1. Changde Hospital of Hunan University of Chinese Medicine, Changde, Hunan 415000, China; 2. The First Hospital of Hunan University of Chinese Medicine, Changsha, Hunan 410007, China; 3. Hunan Provincial Hospital of Integrated Chinese and Western Medicine, Changsha, Hunan 410006, China

[Abstract] **Objective** To investigate the intervention and mechanism of Huoxue Rongluo Formula (HXRLF) on brain microvascular endothelial cell (BMEC) after oxygen-glucose deprivation/reoxygenation (OGD/R) by activating Janus kinase 2/signal transducer and activator of transcription 3 (JAK2/STAT3) pathway. **Methods** Rat BMEC (bEnd3 cell) was cultivated and an OGD/R model was established. The cells were randomized into normal (10% blank serum), model (10% blank serum), HXRLF (10% HXRLF containing serum), butylph-

[收稿日期]2023-08-19

[基金项目]国家自然科学基金项目(8210151338);湖南省自然科学基金项目(2022JJ30088, 2023JJ40512, 2021JJ30521, 2021JJ40424);湖南省卫生健康委员会基金项目(202203074864)。

[通信作者]*周德生,男,博士,教授,主任医师,博士研究生导师,E-mail:zds1101@foxmail.com。

thalide (10% butylphthalide containing serum), Stattic (10% blank serum+10 μmol/mL Stattic), and combination (10% HXRLF serum+10 μmol/mL Stattic) groups, and were given corresponding drug interventions for 24 h, respectively. CCK-8 assay was used to determine the effects of HXRLF on the activity of bEnd.3 cells after OGD/R. Wound healing assay and Transwell migration assay were used to test the effects of HXRLF on scratch healing and cell migration ability of bEnd.3 cells after OGD/R; the protein expression levels of JAK2, p-JAK2, STAT3, p-STAT3, and VEGFA in bEnd.3 cells were determined by Western-blot. **Results** Compared with the normal group, the survival rate, scratch healing rate, and cell migration number of bEnd.3 cells in the model group were significantly lower ($P<0.01$), while the expression levels of JAK2, p-JAK2, STAT3, p-STAT3, and VEGFA were higher ($P<0.05$ or $P<0.01$). Compared with the model group, the survival rate, scratch healing rate, and migration number of bEnd.3 cells in the HXRLF group were significantly higher ($P<0.01$), and the expression levels of JAK2, p-JAK2, p-STAT3, STAT3, and VEGFA were significantly higher ($P<0.05$ or $P<0.01$). Compared with the Stattic group, the survival rate, scratch healing rate, and cell migration number of bEnd.3 cells in the combination group were significantly higher ($P<0.05$ or $P<0.01$), and the expression levels of STAT3 and VEGFA were higher ($P<0.05$). **Conclusion** HXRLF may activate the JAK2/STAT3 signaling pathway, induce endothelial cell proliferation, migration, and survival, activate VEGFA expression, and alleviate cerebral ischemia-reperfusion injury, thus exerting neuroprotective effects.

[Keywords] ischemic stroke; Huoxue Rongluo Formula; Janus kinase 2/signal transducer and activator of transcription 3 pathway; oxygen-glucose deprivation/reoxygenation; brain microvascular endothelial cell

缺血性脑卒中(ischemic stroke, IS)的发病机制尚不完全清楚。神经元的微环境包括脑微血管系统、血管神经网络和神经血管单位,近年来受到了广泛的关注。脑微血管内皮细胞(brain microvascular endothelial cell, BMEC)是脑微血管系统的重要组成部分,IS导致BMEC死亡、血脑屏障破坏而血管通透性增强^[1-3],继发脑水肿的形成和发展,并导致患者预后不良。

脑侧支循环已成为IS病因、病机及防治研究领域中的新热点及切入点,对预测IS复发有指导意义。Janus酪氨酸激酶/信号转导和转录激活剂(Janus kinase/signal transducer and activator of transcription, JAK/STAT)通路是IS后BMEC增生及血管新生过程中重要的细胞信号转导途径之一,参与细胞的炎性反应、生长应激、生殖、分化、凋亡、坏死和免疫应答等多个环节^[4]。血管内皮生长因子/血管内皮生长因子受体-2/Janus酪氨酸激酶2/信号转导和转录激活剂3(vascular endothelial growth factor/vascular endothelial growth factor receptor-2/Janus kinase 2/signal transducer and activator of transcription 3, VEGF/VEGFR-2/JAK2/STAT3)调节血管屏障完整性并抑制STAT3依赖性活性,可降低VEGFA诱导的血管通透性^[5]。本研究建立氧糖剥夺/复氧(oxygen-glucose deprivation/reperfusion, OGD/R)模型,观察OGD/R处理后的BMEC细胞活力、细胞迁移和血管生成的变化,探讨活血荣络方对BMEC的保护作用和机制,以期为未来研发保护血管内皮细胞并减轻IS后脑缺血再灌注损伤的药物提供新参考。

1 材料

1.1 实验细胞

BMEC bEnd.3 细胞株,购自武汉普诺赛生命科技有限公司(批号:CL-0598)。

1.2 实验动物

从湖南斯莱克景达实验动物有限公司购入10~12周龄、体质量为250~280 g的雄性SPF级SD大鼠15只,以制备含药血清。大鼠饲养于湖南中医药大学第一附属医院实验动物中心,昼夜交替12 h,温度21~26 ℃,湿度40%~50%,动物许可证号:SCXK(湘)2019-0004,合格证号:4307272011011151067,实验经湖南中医药大学第一附属医院动物实验伦理委员会批准(审批号:ZYFY20221111-33)。

1.3 实验药物

活血荣络方组成:鸡血藤30 g,石楠藤30 g,生地黄15 g,黄精15 g,玄参10 g,川芎10 g,乳香10 g,没药10 g。以上药材均购自湖南中医药大学第一附属医院中药房,经湖南中医药大学第一附属医院张裕民主任药师鉴定为正品。丁苯酞软胶囊(中国石药集团恩必普药业有限公司,批号:1182212145,国药准字:H20050299,规格:0.1 g/粒);Stattic(美国Sell-eck公司,批号:S7024,规格:50 mg)。

1.4 主要试剂

DMEM无糖培养液、无血清非程序冻存液(武汉普诺赛生命科技有限公司,批号:PM150270,PB180438);胎牛血清、青霉素-链霉素混合液(×100)、胰蛋白酶-EDTA(0.25%)(美国赛默飞世尔科技有限公司,

批号:13011-8611、15140122、25200056);JAK2抗体、p-JAK2抗体、STAT3抗体、p-STAT3抗体、VEGFA(艾博抗上海贸易有限公司,批号:ab104687、ab32101、ab68153、ab280202、ab46154); β -actin、山羊抗兔IgG H&L(巴傲得生物武汉三鹰生物技术有限公司,批号:20536-1-AP、SA00003-2);CCK-8试剂盒(白鲨生物科技有限公司,批号:CK04);Matrigel基质胶(美国Corning公司,批号:356234);逆转录试剂盒(近岸生物科技有限公司,批号:E047-01B);BCA蛋白定量试剂盒(联科生物技术股份有限公司,批号:70-PQ0012)。

1.5 主要仪器

普通培养箱、三气培养箱、低温高速离心机(美国赛默飞世尔科技有限公司,型号:3427、3131、Fresco17);温水浴锅(美国Crystal仪器公司,型号:SYG-1210);倒置显微镜(德国ZEISS公司,型号:Axio Vert.A1);多功能酶标仪(美国BioTek公司,型号:Cytation3);超净工作台(苏净集团苏州安泰空气技术有限公司,型号:SW-CJ-1F);Mini-Protean Tetra电泳槽、Mini Trans-Blot转印槽、Gel Doc XR+凝胶成像系统、PCR扩增仪(美国Bio-Rad公司,型号:153BR90552、VE-186、712BR12725、621BR25450);Transwell小室(苏州赛宁生物科技有限公司,型号:1101130-T)。

2 方法

2.1 BMEC的培养

细胞复苏:将BMEC bEnd.3细胞放置于预热至37℃的水浴锅中解冻,转移至15mL离心管后加入3mL DMEM完全培养基,于离心机中配平后以1 000 r/min离心5 min(离心半径10 cm)。去除上清液后,加入4mL DMEM完全培养基,均匀充分混悬后,转移至25T细胞培养瓶,于5% CO₂、37℃恒温培养箱中培养,次日换液,观察细胞形态。细胞培养:在DMEM培养基(含100 U/mL青霉素和100 μg/mL链霉素)中培养bEnd.3细胞,于5% CO₂、37℃恒温培养箱中培养。细胞传代:待bEnd.3细胞密度达到70%~80%时进行传代,PBS洗涤3次后用0.25%胰酶消化2 min,观察到bEnd.3细胞间隙变大或脱落时,用完全培养基停止消化,1 000 r/min低温离心5 min(离心半径10 cm),以1:3比例转移至新的细胞培养瓶进行传代,于5% CO₂、37℃恒温培养箱中继续培养。

2.2 OGD/R模型的建立

参照颜思阳^[6]构建的大鼠BMEC的OGD/R细胞模型方法,制备bEnd.3细胞OGD/R模型,取对数期bEnd.3细胞构建模型,PBS洗涤3次后,加入无糖DMEM培养基,将bEnd.3细胞置于三气培养箱(5% CO₂、95% N₂、1% O₂,37℃)中培养2 h,氧糖剥夺2 h后更换完全培养基,于普通培养箱(5% CO₂、37℃)中培养24 h,建立bEnd.3细胞OGD/R模型。

2.3 含药血清的制备

15只SD大鼠按照随机数字表法随机分为3组:空白血清组(n=5)、活血荣络方含药血清组(n=5)、丁苯酞含药血清组(n=5)。活血荣络方含药血清组以活血荣络方浸膏稀释液[生药23.4 g/(kg·d)]灌胃;丁苯酞含药血清组以8 g/L丁苯酞混悬液(0.1 g丁苯酞软胶囊溶于12.5 mL Tween80溶液)灌胃;空白血清组给予等体积蒸馏水灌胃。每日于早晚8点进行灌胃,连续7 d。于末次灌胃1 h后以10%水合氯醛(3 mg/kg)深度麻醉大鼠,暴露腹主动脉。使用负压采血管采集全血5 mL至无抗凝剂的普通采血管中,静置1 h,3 000 r/min离心10 min(离心半径10 cm),收集上清液于离心管中,于56℃水浴灭活30 min,再经0.22 μm滤膜过滤除菌,后分装于2 mL EP管中,统一置于-80℃冰箱保存备用。

2.4 细胞分组及给药

细胞分为正常组、模型组、活血荣络方组、丁苯酞组、Stattic组、活血荣络方+Stattic组(简称联用组)。参照课题组前期给药剂量及方法^[7],于复糖复氧的同时,正常组、模型组加入10%空白血清,活血荣络方组和丁苯酞组各自加入10%含药血清,Stattic组加入10%空白血清+10 μmol/mL Stattic(预处理3 h),联用组则加入10%活血荣络方血清+10 μmol/mL Stattic(预处理3 h),各组均干预24 h。

2.5 细胞增殖检测

采用CCK-8法检测活血荣络方对OGD/R后bEnd.3细胞活性的影响。将bEnd.3细胞以1×10⁵接种于96孔板(100 μL/孔),每个组设置3个复孔,待细胞贴壁。于OGD/R后,加入含有相应体积的空白血清/含药血清的培养基干预24 h。按照CCK-8试剂盒说明书进行操作,每孔加入10 μL溶液,于37℃、5% CO₂恒温培养箱中孵育40 min,采用酶标仪测定450 nm波长处的OD值,实验重复3次。细胞存活率=[(治疗组-正常组)/(模型组-正常组)]×100%。

2.6 细胞划痕实验

采用划痕实验研究活血荣络方对OGD/R后bEnd.3细胞划痕愈合的影响。孔板标记:用记号笔

在6孔板背面等距离均匀绘制5条横线,每条间隔0.5 cm,横穿过孔。细胞铺板:将bEnd.3细胞以 1×10^5 接种于6孔板,每孔 1×10^5 个细胞。细胞划线:孵育24 h待细胞贴壁后,用10 μL枪头以垂直于标记的横线作划痕,划痕后PBS洗3次,使划线清晰可见。在每组孔内加入含有相应体积的空白血清/含药血清的培养基,将细胞于37 °C、5% CO₂恒温培养箱中孵育24 h,用倒置显微镜进行拍照,随机选取6条划线,实验重复3次。采用Image J软件计算,细胞间划痕宽度=划痕空隙面积/高度;细胞划痕愈合率=(干预后划痕面积/干预前划痕面积)×100%。

2.7 Transwell细胞迁移愈合实验

采用Transwell迁移实验研究活血荣络方对OGD/R后bEnd.3细胞迁移的影响。细胞悬液制备:将处理后的bEnd.3细胞用胰酶消化后,用无血清的培养基重悬,制备细胞悬液,调整细胞密度为 1×10^5 个/mL。细胞接种:下室加入600 μL含15% FBS的培养基,上室加入200 μL细胞悬液,于37 °C、5% CO₂恒温培养箱中培养24 h。固定染色:取出Transwell小室,PBS洗3次,用棉签擦掉上室中未迁移的细胞及残余液体,恒温箱中甲醇固定30 min,风干Transwell小室。Transwell小室在0.1%结晶紫中染色30 min,PBS洗涤3次,用棉签将液体擦拭干净。采用倒置显微镜,随机选取5个视野观察细胞并计数。

2.8 JAK2、p-JAK2、STAT3、p-STAT3、VEGFA蛋白表达水平检测

采用Western blot法检测bEnd.3细胞中JAK2、p-JAK2、STAT3、p-STAT3、VEGFA蛋白表达水平。细胞分组及处理:取对数生长期bEnd.3细胞,以 1×10^5 接种于96孔板(100 μL/孔),每个组设置3个复孔,待细胞贴壁。于OGD/R后,加入含有相应体积的空白血清/含药血清的培养基干预24 h。蛋白提取:bEnd.3细胞复氧复糖24 h后,PBS洗涤3次后再加入1 mL PBS缓冲液,刮取细胞并吹打均匀后转移至EP管。于4 °C、1 000 r/min条件下,离心5 min(离心半径10 cm),去除细胞上清液后加入200 μL裂解液。于冰上裂解30 min后,12 000 r/min、低温离心10 min(离心半径10 cm),将上清液转移至新的EP管。采用BCA法测定总蛋白浓度,蛋白上样量为3 μg/μL,10 μL/孔。经SDS-PAGE凝胶电泳、转膜。JAK2、STAT3用5%脱脂牛奶室温封闭1.5 h,p-JAK2、p-STAT3用5%BSA封闭1.5 h。一抗JAK2(1:2 000)、p-JAK2(1:2 000)、STAT3(1:2 000)、p-STAT3(1:2 000)4 °C孵育过夜,洗膜3次,10 min/次。

二抗(1:10 000)37 °C恒温水浴摇床孵育60 min,再次洗膜后显色成像。使用Image J分析图像灰度值,以目的蛋白与β-actin灰度值的比值表示蛋白相对表达量。

2.9 统计学处理

采用SPSS 23.0软件进行统计学分析,计量资料以“ $\bar{x}\pm s$ ”表示。组间比较若符合正态性与方差齐性,采用单因素方差分析,两两比较采用LSD法;方差不齐时,采用Dunnett's T3法;若不符合正态性,采用Kruskal-Wallis秩和检验。以P<0.05为差异具有统计学意义。

3 结果

3.1 活血荣络方含药血清对OGD/R后bEnd.3细胞增殖的影响

与正常组比较,模型组bEnd.3细胞存活率显著降低(P<0.01);与模型组比较,活血荣络方组、联用组、丁苯酞组细胞存活率显著升高(P<0.01);与Stattic组比较,活血荣络方组、联用组及丁苯酞组细胞存活率显著升高(P<0.05或P<0.01)。详见表1。

表1 各组bEnd.3细胞存活率比较(n=5, $\bar{x}\pm s$, %)

分组	细胞存活率
正常组	100.00±7.57
模型组	60.00±5.50**
活血荣络方组	79.93±4.60*#△△
Stattic组	66.50±0.76**
联用组	76.64±1.26*#△
丁苯酞组	83.15±5.23*#△△

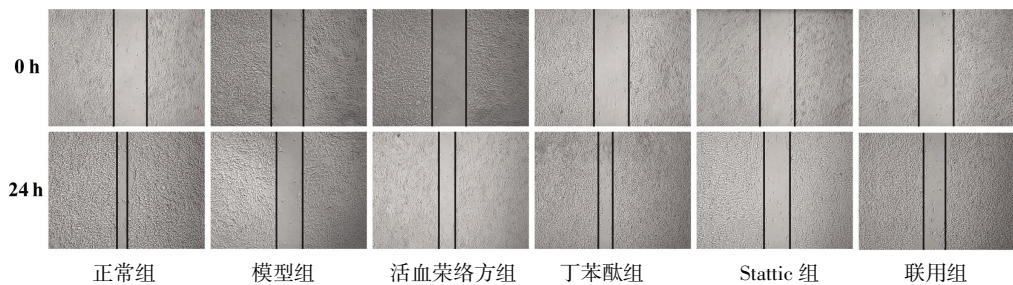
注:与正常组比较,*P<0.05,**P<0.01;与模型组比较,#P<0.01;与Stattic组比较,△P<0.05,△△P<0.01。

3.2 活血荣络方含药血清对OGD/R后bEnd.3细胞划痕愈合率的影响

与正常组比较,模型组愈合率显著降低(P<0.01);与模型组比较,活血荣络方组、丁苯酞组、联用组细胞愈合率显著升高(P<0.01);与活血荣络方组及丁苯酞组比较,Stattic组及联用组细胞愈合率显著降低(P<0.01);与Stattic组比较,联用组细胞愈合率升高(P<0.05)。详见图1、表2。

3.3 活血荣络方含药血清对OGD/R后bEnd.3细胞Transwell迁移的影响

与正常组比较,模型组迁移细胞个数显著降低(P<0.01);与模型组比较,活血荣络方组、丁苯酞组、联用组迁移细胞个数显著升高(P<0.01);与丁苯酞组比较,Stattic组及联用组迁移细胞个数显著降低

图1 各组 bEnd.3 细胞划痕愈合图($n=5, \times 100$, 倒置显微镜)表2 各组 bEnd.3 细胞划痕愈合率比较($n=5, \bar{x} \pm s, \%$)

分组	划痕愈合率
正常组	65.15±3.38
模型组	25.29±5.71**
活血荣络方组	56.61±7.82#
丁苯酞组	58.47±3.55#
Stattic 组	23.50±2.44**●▲▲
联用组	37.13±2.01#●▲▲

注:与正常组比较, ** $P<0.01$;与模型组比较, # $P<0.01$;与活血荣络方组比较, ●● $P<0.01$;与丁苯酞组比较, ▲▲ $P<0.01$;与 Stattic 组比较, △△ $P<0.05$ 。

($P<0.01$);与 Stattic 组比较,活血荣络方组及联用组迁移细胞个数显著升高($P<0.01$)。详见表3、图2。

3.4 活血荣络方含药血清对 OGD/R 后 bEnd.3 细胞 JAK2、p-JAK2、STAT3、p-STAT3、VEGFA 蛋白表达的影响

与正常组比较,模型组 JAK2、p-JAK2、STAT3、p-STAT3、VEGFA 蛋白表达升高($P<0.05$ 或 $P<0.01$);与模型组比较,活血荣络方组与丁苯酞组 JAK2、p-JAK2、p-STAT3、STAT3、VEGFA 蛋白表达升高($P<0.05$ 或 $P<0.01$)。详见表4、图3。

表3 各组 bEnd.3 细胞迁移个数比较($n=5, \bar{x} \pm s, \text{个}$)

分组	细胞迁移数
正常组	224.00±11.27
模型组	73.33±17.04**
活血荣络方组	164.33±7.09#△△
丁苯酞组	169.00±16.82#
Stattic 组	55.00±3.61**○○
联用组	104.33±7.09#○○△△

注:与正常组比较, ** $P<0.01$;与模型组比较, # $P<0.01$;与丁苯酞组比较, ○○ $P<0.01$;与 Stattic 组比较, △△ $P<0.01$ 。

或 $P<0.01$),Stattic 组 p-JAK2、STAT3、p-STAT3、VEGFA 蛋白表达降低($P<0.05$ 或 $P<0.01$);与丁苯酞组比较, Stattic 组 JAK2、p-JAK2、STAT3、p-STAT3、VEGFA 蛋白表达降低($P<0.05$ 或 $P<0.01$),联用组 STAT3、p-STAT3、VEGFA 蛋白表达降低($P<0.05$ 或 $P<0.01$);与 Stattic 组比较,活血荣络方组及联用组 STAT3、VEGFA 蛋白表达升高($P<0.05$ 或 $P<0.01$),活血荣络方组 JAK2、p-JAK2、p-STAT3 蛋白表达升高($P<0.05$ 或 $P<0.01$)。详见表4、图3。

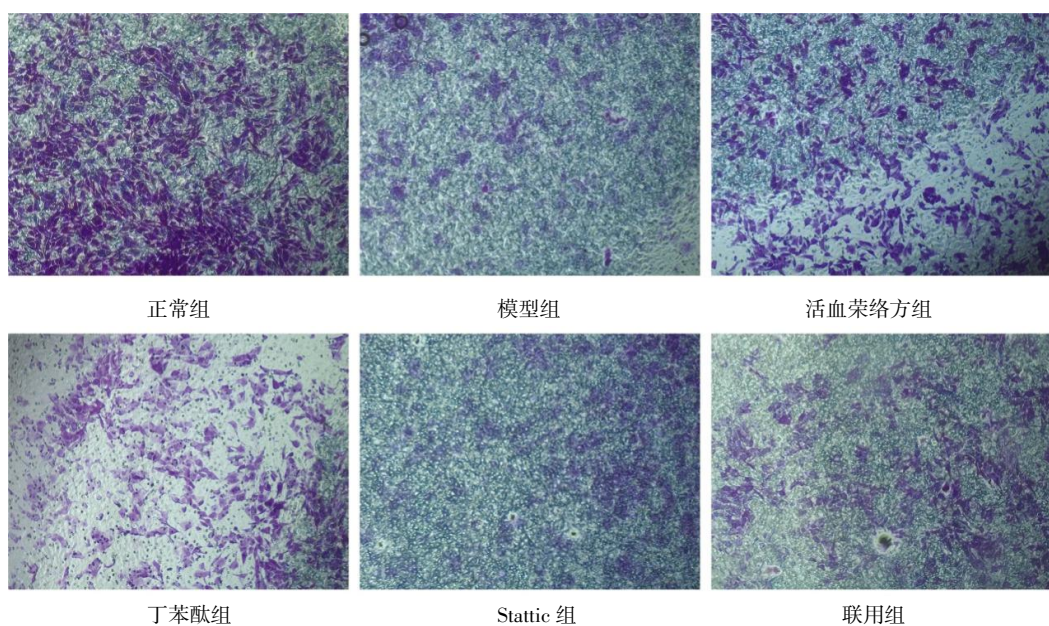
图2 各组 bEnd.3 细胞 Transwell 迁移染色图($n=5, \times 200$)

表4 各组细胞 JAK2、p-JAK2、STAT3、p-STAT3、VEGFA 蛋白表达比较($n=5, \bar{x} \pm s$)

分组	JAK2/β-actin	p-JAK2/JAK2	STAT3/β-actin	p-STAT3/STAT3	VEGFA/β-actin
正常组	1.10±0.08	0.36±0.14	0.65±0.30	0.87±0.15	1.03±0.14
模型组	1.25±0.01*	0.99±0.11**	1.28±0.34*	2.11±0.06**	2.18±0.21**
活血荣络方组	1.51±0.04 ^{#△}	1.49±0.20 ^{#△△}	3.18±0.23 ^{#△△}	3.39±0.13 ^{#△△}	3.47±0.21 ^{#△△}
丁苯酞组	1.54±0.11 [#]	1.50±0.28 ^{##}	3.31±0.41 [#]	3.31±0.24 ^{##}	3.52±0.14 [#]
Stattic 组	1.35±0.04 [○]	0.81±0.16 ^{○○}	0.64±0.22 ^{○○}	0.78±0.27 ^{○○○}	1.26±0.17 ^{○○○}
联用组	1.48±0.11	1.08±0.12	0.89±0.38 ^{○○△}	0.98±0.21 ^{○○}	1.60±0.09 ^{○△}

注:与正常组比较,* $P<0.05$,** $P<0.01$;与模型组比较,* $P<0.05$,[#] $P<0.01$;与丁苯酞组比较,[○] $P<0.05$,^{○○} $P<0.01$;与 Stattic 组比较,[#] $P<0.05$,^{△△} $P<0.01$ 。

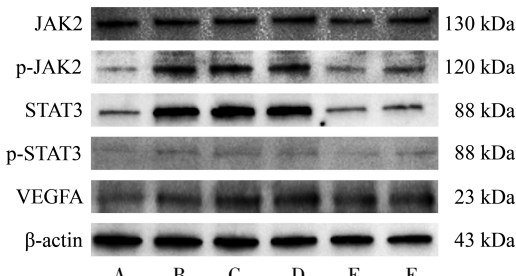


图3 各组细胞 JAK2、p-JAK2、STAT3、p-STAT3、VEGFA 蛋白条带图

注:A.正常组;B.模型组;C.活血荣络方组;D.丁苯酞组;E.Stattic 组;F.联用组。

4 讨论

IS 急性期的关键治疗措施是尽快改善侧支循环及缺氧、避免脑缺血再灌注损伤,抑制炎症发生可能是治疗 IS 的新策略^[8]。BMEC 是脑微血管的基本结构及脑血管新生的关键细胞和直接靶点,本实验通过制备 OGD/R 模型,在低氧、低糖等条件下培养 BMEC(bEnd.3 细胞),在体外成功模拟在体动物的缺血缺氧状态和再灌注损伤。结果表明,与模型组及 Stattic 组比较,活血荣络方组 bEnd.3 细胞存活率、划痕愈合率、细胞迁移数均显著增加,提示该方可能通过抑制炎症反应而减轻缺血缺氧后的 BMEC 损伤。

Stattic 是第一种非肽类靶向小分子抑制剂,其分子量小、脂溶性好,可较好地透过血脑屏障,能抑制 STAT3 的激活、二聚化和核易位,能精准靶向抑制 STAT3 通路^[9]。本研究设置 Stattic 组和联用组作对照,故更客观而精准。结果表明,与 Stattic 组比较,活血荣络方含药血清能明显上调 VEGFA、p-JAK2、p-STAT3、STAT3 蛋白表达量,提示该方与 Stattic 的作用相反,具有激活 JAK2/STAT3 通路的作用;而联用组中加入 Stattic,成功模拟脑缺血再灌注损伤后炎症反应对 BMEC 增生的抑制作用,活血荣络方仍能上调 JAK2/STAT3 通路相关蛋白的表达,证实该方可能通过激活 JAK2/STAT3 通路而有效减轻 IS

后血管内皮细胞的损伤,从而发挥改善脑侧支循环的作用。

丁苯酞不仅可抑制炎症因子、控制神经元焦亡、减轻缺血再灌注损伤,还可增加软脑膜血管管径、提高 VEGF 的浓度、促进侧支循环的建立并提高脑血流量^[10]。Western blot 检测结果显示:与模型组比较,活血荣络方组与丁苯酞组 JAK2、p-JAK2、p-STAT3、STAT3、VEGFA 蛋白表达均升高;且活血荣络方血清与丁苯酞血清干预效果相当,提示活血荣络方可能通过介导靶基因 JAK2、p-JAK2、p-STAT3、STAT3、VEGFA,激活 JAK2-STAT3 信号通路而动态调控血管内皮细胞增殖、迁移和管腔形成,促进脑血管新生,发挥修复神经功能的作用。

JAK2-STAT3 信号通路是参与细胞增殖、迁移、代谢、凋亡和血管新生的重要信号转导途径。Stattic 能阻止 Tyr705 位点 STAT3 磷酸化而抑制 STAT3 二聚体激活和核易位^[11]。本研究结果表明,对比模型组,活血荣络方组的细胞存活率和细胞迁移数显著增高,而 Stattic 组的增殖和迁移率显著降低,联用组在 Stattic 作用下仍能发挥部分作用,证明活血荣络方含药血清能更好地促进 OGD/R 后 BMEC 的增殖和迁移,而且可能通过促进 JAK2/STAT3 信号通路激活 VEGFA 表达,而达到促 OGD/R 后 BMEC 细胞增生并保护神经元的作用。

VEGF 是血管新生的分子枢纽,当与其内皮细胞中的膜蛋白受体 VEGFR2 结合时可促进细胞增殖、迁移和血管形成^[12-13]。BMEC 损伤时,VEGF 通路被激活,VEGF 可通过诱导 BMEC 的抗凋亡蛋白表达维持新生血管中内皮细胞的生存而促进血管新生^[14]。单独上调 VEGF 表达所诱导的血管新生发育不完整,血管壁具有一定渗透性,但如果同时增加 JAK、STAT3 的表达,则能同时抑制新生血管渗漏并促进成熟血管形成^[15]。Western blot 结果显示,与模型组、Stattic 组比较,活血荣络方含药血清能上调 VEGFA、JAK2、p-JAK2、p-STAT3、STAT3 蛋白表达。证实该

方能激活JAK2/STAT3信号通路、诱导细胞的增殖、迁移和存活,增加血管的通透性并保护神经元;同时,激活VEGFA表达而促进血管新生。

活血荣络方具有养阴生津、活血通脉的功效,对缺血性中风阴虚血瘀证疗效显奇^[16-17]。鸡血藤中含有黄酮类、酚酸类、苯丙素类等,具有抗氧化、抗炎、抗病毒、保护心脑血管等作用^[18]。石南藤中含有丰富的血小板活化因子受体拮抗剂——南藤素和海风藤酮,具有清除氧自由基、抗氧化的能力^[19]。川芎作用于突触结构、突触功能等,对神经元起保护作用,阿魏酸针叶酯和阿魏酸是川芎提取物中防治IS的关键物质^[20]。生地黄提取物具有抗氧化、抗衰老、抗炎和保护神经的特性,其活性成分梓醇可减轻神经元凋亡和能量代谢衰竭^[21]。乳香具有抗氧化、抗炎、抗淀粉样蛋白形成和抗凋亡特性^[22]。

综上所述,活血荣络方能激活JAK2/STAT3信号通路并诱导内皮细胞的增殖、迁移和存活,能上调VEGFA表达并减轻脑缺血再灌注损伤,具有神经保护作用,为进一步研究该方打下基础。

参考文献

- [1] TORRES-LÓPEZ C, CUARTERO M I, GARCÍA-CULEBRAS A, et al. Ipsilesional hippocampal GABA is elevated and correlates with cognitive impairment and maladaptive neurogenesis after cortical stroke in mice[J]. Stroke, 2023, 54(10): 2652-2665.
- [2] GUO J, WANG H L, JIANG X, et al. An untargeted lipidomics study of acute ischemic stroke with hyperglycemia based on ultrahigh-performance liquid chromatography-mass spectrometry[J]. Computational and Mathematical Methods in Medicine, 2022, 2022: 8332278.
- [3] ZHANG M Q, TANG M M, WU Q, et al. LncRNA DANCR attenuates brain microvascular endothelial cell damage induced by oxygen-glucose deprivation through regulating miR-33a-5p/XBP1s[J]. Aging, 2020, 12(2): 1778-1791.
- [4] WANG L, ASTONE M, ALAM S K, et al. Suppressing STAT3 activity protects the endothelial barrier from VEGF-mediated vascular permeability[J]. Disease Models & Mechanisms, 2021, 14(11): 1-14.
- [5] WANG Y, SU X W, LEUNG G H D, et al. Circulating microRNAs as diagnostic biomarkers for ischemic stroke: Evidence from comprehensive analysis and real-world validation[J]. International Journal of Medical Sciences, 2023, 20(8): 1009-1023.
- [6] 颜思阳. 基于PINK1/Parkin信号通路探讨活血荣络方对脑缺血再灌注损伤保护的作用机制[D]. 长沙: 湖南中医药大学, 2022.
- [7] 杨仁义. 基于荣气理论探讨活血荣络方调控“TF-miRNA”反馈环促脑梗死后血管新生的机制研究[D]. 长沙: 湖南中医药大学, 2022.
- [8] XIANG W, WEI H C, LIANG Z G, et al. FLAIR vascular hyperintensity combined with asymmetrical prominent veins in acute anterior circulation ischemic stroke: Prediction of collateral circulation and clinical outcome[J]. European Journal of Medical Research, 2023, 28(1): 446.
- [9] 任泉, 李佳博, 王旭亚, 等. JSH-23联合Stattic靶向NF-κB和STAT3双信号转导通路抑制胶质瘤细胞增殖和迁移实验研究[J]. 中国现代神经疾病杂志, 2022, 22(5): 393-403.
- [10] 郑勇, 程贝, 陈亦辉, 等. 星萎承气汤联合丁苯酞治疗缺血性脑卒中疗效及对患者氧化应激、血液流变学的影响[J]. 陕西中医, 2023, 44(2): 191-194.
- [11] KABIRI M, HEMMATPOUR A, ZARE F, et al. Paroxetine modulates immune responses by activating a JAK2/STAT3 signaling pathway[J]. Journal of Biochemical and Molecular Toxicology, 2020, 34(5): e22464.
- [12] GHOSH A, DASGUPTA D, GHOSH A, et al. MiRNA199a-3p suppresses tumor growth, migration, invasion and angiogenesis in hepatocellular carcinoma by targeting VEGFA, VEGFR1, VEGFR2, HGF and MMP2[J]. Cell Death & Disease, 2017, 8(3): e2706.
- [13] 张振强, 贾亚泉, 王自闯, 等. 化痰通络汤预先灌胃的合并高脂血症脑缺血大鼠神经系统功能、脑组织病理变化观察[J]. 山东医药, 2018, 58(43): 47-50.
- [14] 尹倩, 周德生, 陈瑶, 等. 基于NLRP3炎症小体探讨活血荣络方对大鼠脑缺血再灌注损伤的影响及机制[J]. 中国中医药信息杂志, 2023, 30(9): 115-121.
- [15] WANG G R, CHEN Z Y, SONG Y Y, et al. Xueshuantong injection alleviates cerebral microcirculation disorder in middle cerebral artery occlusion/reperfusion rats by suppressing inflammation via JNK mediated JAK2/STAT3 and NF-κB signaling pathways[J]. Journal of Ethnopharmacology, 2022, 298: 115592.
- [16] 谢清, 周德生, 刘雨濛. 探讨缺血中风阴虚血瘀与荣气虚滞的相关性[J]. 中医临床研究, 2021, 13(9): 28-30.
- [17] 龚翠兰, 杨仁义, 周德生, 等. 基于miR-370-3p与JAK2/STAT3通路相关性探讨活血荣络方促缺血性脑卒中后血管新生的机制[J]. 中国药理学通报, 2022, 38(2): 297-304.
- [18] 关媛, 王雪盈, 孙媛媛, 等. 鸡血藤提取物对α-淀粉酶和α-葡萄糖苷酶的抑制作用[J]. 食品与发酵工业, 2023, 49(7): 126-132.
- [19] 覃亮, 刘航博, 韦宇, 等. 石楠藤多糖的提取及其抗氧化活性研究[J]. 生物化工, 2022, 8(1): 35-37, 43.
- [20] ZENG P, YI Y, SU H F, et al. Key phytochemicals and biological functions of Chuanxiong rhizoma against ischemic stroke: A network pharmacology and experimental assessment[J]. Frontiers in Pharmacology, 2021, 12: 758049.
- [21] YUAN H X, YANG M, HAN X M, et al. The therapeutic effect of the Chinese herbal medicine, rehmanniae Radix preparata, in attention deficit hyperactivity disorder via reversal of structural abnormalities in the cortex[J]. Evidence-Based Complementary and Alternative Medicine, 2018, 2018: 3052058.
- [22] RAJABIAN A, SADEGHNIA H, FANOUDI S, et al. Genus Boswellia as a new candidate for neurodegenerative disorders[J]. Iranian Journal of Basic Medical Sciences, 2020, 23(3): 277-286.